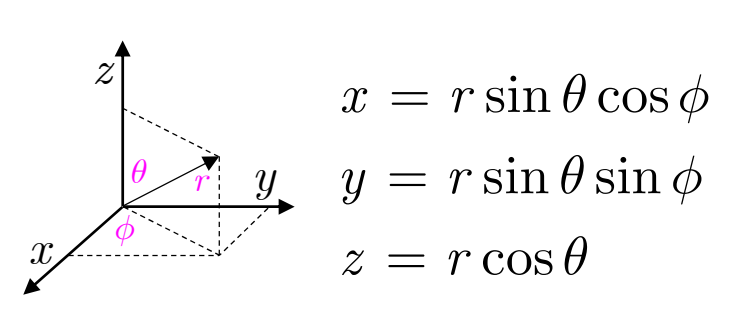
# Elettromagnetismo

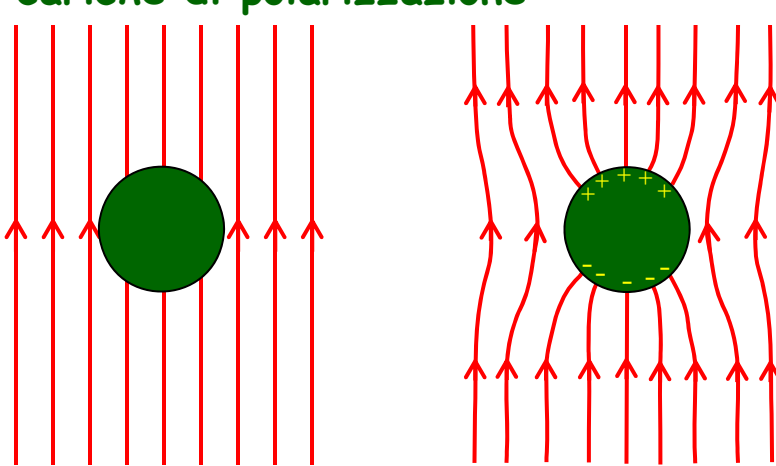
Prof. Francesco Ragusa Università degli Studi di Milano

Lezione n. 16 - 1.12.2022

Sfera di dielettrico in campo uniforme Carica puntiforme e semispazio dielettrico

- Consideriamo una sfera di dielettrico posta in un campo elettrico uniforme
  - Dielettrico lineare, omogeneo e isotropo
  - È un problema analogo a quello della sfera conduttrice in campo uniforme che abbiamo affrontato in precedenza (vedi diapositiva 190)
  - Utilizziamo il metodo della separazione delle variabili in coordinate sferiche
    - C'è simmetria azimutale (V indipendente da  $\phi$ )
  - Qualitativamente possiamo dire che il campo elettrico polarizza il dielettrico
    - Sulla superficie della sfera compare una carica superficiale
    - Il campo uniforme è distorto
      - Il campo rimane uniforme all'infinito
    - All'interno della sfera il campo elettrico è dato dalla somma del campo esterno e del campo generato dalle cariche di polarizzazione





• Esprimiamo il potenziale all'esterno e all'interno utilizzando la formula utilizzata per il problema della sfera conduttrice

$$V_{\text{out}}\left(r,\theta\right) = \sum_{l=0}^{\infty} \left(A_{l}r^{l} + \frac{B_{l}}{r^{l+1}}\right) P_{l}\left(\cos\theta\right) \qquad V_{\text{in}}\left(r,\theta\right) = \sum_{l=0}^{\infty} \left(C_{l}r^{l} + \frac{D_{l}}{r^{l+1}}\right) P_{l}\left(\cos\theta\right)$$

- La seconda formula è necessaria perché adesso stiamo risolvendo il problema elettrostatico in due regioni con permittività diverse ( $\varepsilon$  sfera -  $\varepsilon_0$  vuoto)
- Le condizioni al contorno sono
  - All'infinito campo uniforme
  - Potenziale continuo sulla sfera

$$V_{\mathrm{out}}(z) \rightarrow -E_0 z + V_0$$

$$V_{\text{out}}(r_0, \theta) = V_{\text{in}}(r_0, \theta)$$

$$\bullet \ \, \text{Discontinuità della componente normale} \quad \varepsilon \frac{\partial \, V_{\text{in}} \left( r_0, \theta \, \right)}{\partial n} = \varepsilon_0 \, \frac{\partial \, V_{\text{out}} \left( r_0, \theta \, \right)}{\partial n}$$

- ullet Assumendo come nel caso della sfera conduttrice  $V_0=0$ , la prima condizione permette di porre a zero tutti gli  $A_l$  escluso  $A_1 = -E_0$  (  $P_1(\cos\theta) = \cos\theta$  )
- Inoltre, poiché al centro della sfera il potenziale deve essere finito si ha che per tutti gli l deve essere  $D_l = 0$

$$V_{\mathrm{out}}\left(r,\theta\right) = -E_0 r \cos\theta + \sum_{l=0}^{\infty} \frac{B_l}{r^{l+1}} P_l\left(\cos\theta\right) \qquad V_{\mathrm{in}}\left(r,\theta\right) = \sum_{l=0}^{\infty} C_l r^l P_l\left(\cos\theta\right)$$

$$V_{\mathrm{out}}\left(r,\theta\right) = -E_{0}r\cos\theta + \sum_{l=0}^{\infty} \frac{B_{l}}{r^{l+1}} P_{l}\left(\cos\theta\right) \qquad V_{\mathrm{in}}\left(r,\theta\right) = \sum_{l=0}^{\infty} C_{l}r^{l} P_{l}\left(\cos\theta\right)$$

La condizione di continuità diventa

$$V_{\text{out}}\left(r_{0},\theta\right) = V_{\text{in}}\left(r_{0},\theta\right) \longrightarrow -E_{0}r_{0}P_{1}\left(\cos\theta\right) + \sum_{l=0}^{\infty} \frac{B_{l}}{r_{0}^{l+1}}P_{l}\left(\cos\theta\right) = \sum_{l=0}^{\infty} C_{l}r_{0}^{l}P_{l}\left(\cos\theta\right)$$

ullet L'uguaglianza implica che per ogni l devono essere uguali i coefficienti dei corrispondenti polinomi di Legendre  $P_l$   $(P_1=\cos heta)$ 

$$\bullet$$
 Per  $l\neq 1$  
$$\frac{B_l}{r_0^{l+1}}P_l=C_lr_0^lP_l \qquad \frac{B_l}{r_0^{l+1}}=C_lr_0^l$$
 
$$B_l=C_lr_0^{2l+1}$$

- Veniamo adesso alla condizione di discontinuità
  - ullet Ricordiamo che sulla sfera  $\partial/\partial n=\partial/\partial r$

$$\varepsilon \frac{\partial V_{\text{in}}(r_0, \theta)}{\partial n} = \varepsilon_0 \frac{\partial V_{\text{out}}(r_0, \theta)}{\partial n}$$

$$\frac{\partial V_{\text{out}}}{\partial r} = -E_0 \cos \theta - \sum_{l=1}^{\infty} \frac{\left(l+1\right) B_l}{r^{l+2}} P_l \left(\cos \theta\right) \qquad \frac{\partial V_{\text{in}}}{\partial r} = \sum_{l=1}^{\infty} l C_l r^{l-1} P_l \left(\cos \theta\right)$$

$$\frac{\partial V_{\text{in}}}{\partial r} = \sum_{l=1}^{\infty} lC_l r^{l-1} P_l \left(\cos\theta\right)$$

 Ancora una volta uguagliamo i coefficienti dei polinomi di Legendre dello stesso ordine l

$$\bullet \ \text{Per} \ \emph{l} = \mathbf{1} \qquad -\varepsilon_0 E_0 P_1 - \varepsilon_0 \, \frac{2B_1}{r_0^3} P_1 = \varepsilon C_1 P_1 \qquad \boxed{ -E_0 - \frac{2B_1}{r_0^3} = \kappa C_1 } \qquad \kappa = \frac{\varepsilon}{\varepsilon_0}$$

$$-E_0 - \frac{2B_1}{r_0^3} = \kappa C_1 \qquad \kappa = \frac{\varepsilon}{\varepsilon_0}$$

$$\bullet \ \text{Per} \ \ \boldsymbol{l} \neq \boldsymbol{1} \qquad -\varepsilon_0 \left( l+1 \right) \frac{B_l}{r_0^{l+2}} P_l \\ = \varepsilon l r_0^{l-1} C_l P_l \qquad \boxed{B_l = -\kappa \frac{l}{l+1} r_0^{2l+1} C_l}$$

$$B_l = -\kappa \frac{l}{l+1} r_0^{2l+1} C_l$$

ullet Confrontiamo con la precedente equazione per l 
eq 1

$$B_l = C_l r_0^{2l+1}$$

- Concludiamo che
  - Per  $l=0 \rightarrow B_0=0$
  - ullet Da  $B_0=0$  segue che  $C_0=0$
  - Per  $l \neq 0,1$  le due relazioni per  $B_l$  implicano che

$$B_l = C_l = 0$$

ullet Esaminiamo infine le due equazioni trovate per l=1

$$C_1 = -E_0 + \frac{B_1}{r_0^3} \qquad -E_0 - \frac{2B_1}{r_0^3} = \kappa C_1$$

ullet Eliminiamo  $C_1$  inserendo la prima equazione nella seconda

$$-E_0 - \frac{2B_1}{r_0^3} = -\kappa E_0 + \kappa \frac{B_1}{r_0^3} \qquad (\kappa - 1)E_0 = \frac{2B_1}{r_0^3} + \kappa \frac{B_1}{r_0^3}$$
$$(\kappa - 1)E_0 r_0^3 = (\kappa + 2)B_1 \qquad B_1 = \frac{\kappa - 1}{\kappa + 2}E_0 r_0^3$$

ullet Per finire inseriamo il valore trovato per  $B_1$  nell'equazione di  $C_1$ 

$$C_1 = -E_0 + \frac{\kappa - 1}{\kappa + 2} E_0 = \frac{\kappa - 1 - \kappa - 2}{\kappa + 2} E_0 = -\frac{3}{\kappa + 2} E_0 \qquad C_1 = -\frac{3}{\kappa + 2} E_0$$

• Abbiamo trovato il potenziale

$$V_{\text{out}}\left(r,\theta\right) = -E_0 r \cos\theta + \frac{\kappa - 1}{\kappa + 2} E_0 r_0^3 \frac{\cos\theta}{r^2} \qquad V_{\text{in}}\left(r,\theta\right) = -\frac{3}{\kappa + 2} E_0 r \cos\theta$$

$$V_{\rm out}\left(r,\theta\right) = -E_0 r \cos\theta + \frac{\kappa - 1}{\kappa + 2} E_0 r_0^3 \frac{\cos\theta}{r^2} \qquad V_{\rm in}\left(r,\theta\right) = -\frac{3}{\kappa + 2} E_0 r \cos\theta$$

• Calcoliamo le componenti del campo elettrico

All'interno

All'interno 
$$E_r = \frac{3}{\kappa + 2} E_0 \cos \theta \qquad E_\theta = -\frac{3}{\kappa + 2} E_0 \sin \theta \qquad \begin{array}{c} \nabla = \hat{\mathbf{e}}_r \frac{\partial}{\partial r} + \hat{\mathbf{e}}_\theta \frac{1}{r} \frac{\partial}{\partial \theta} + \hat{\mathbf{e}}_\phi \frac{1}{r \sin \theta} \frac{\partial}{\partial \phi} \\ \end{array}$$

$$\mathbf{E} = \frac{3}{\kappa + 2} \mathbf{E}_0$$
 Campo uniforme

All'esterno

$$E_r = E_0 \cos \theta + 2 \frac{\kappa - 1}{\kappa + 2} E_0 r_0^3 \frac{\cos \theta}{r^3}$$
 Campo uniforme 
$$E_\theta = -E_0 \sin \theta + \frac{\kappa - 1}{\kappa + 2} E_0 r_0^3 \frac{\sin \theta}{r^3}$$
 Campo dipolo

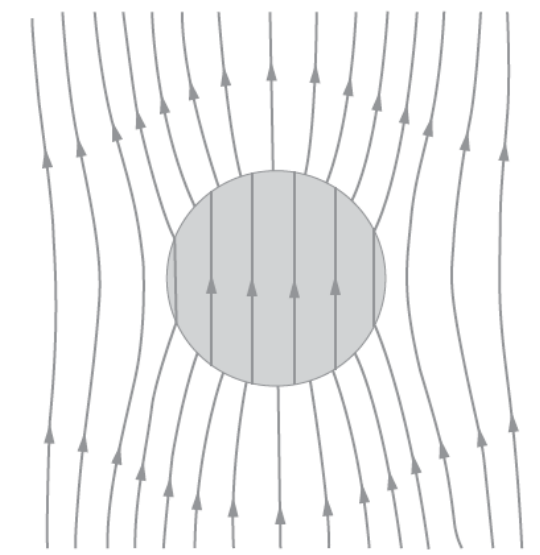
• Sulla superficie della sfera

$$E_r = \left(1 + 2\frac{\kappa - 1}{\kappa + 2}\right) E_0 \cos\theta \quad = \frac{3\kappa}{\kappa + 2} E_0 \cos\theta$$

$$E_{\theta} = \left(\frac{\kappa - 1}{\kappa + 2} - 1\right) E_0 \sin \theta = -\frac{3}{\kappa + 2} E_0 \sin \theta$$

$$\nabla = \hat{\mathbf{e}}_r \frac{\partial}{\partial r} + \hat{\mathbf{e}}_\theta \frac{1}{r} \frac{\partial}{\partial \theta} + \hat{\mathbf{e}}_\phi \frac{1}{r \sin \theta} \frac{\partial}{\partial \phi}$$

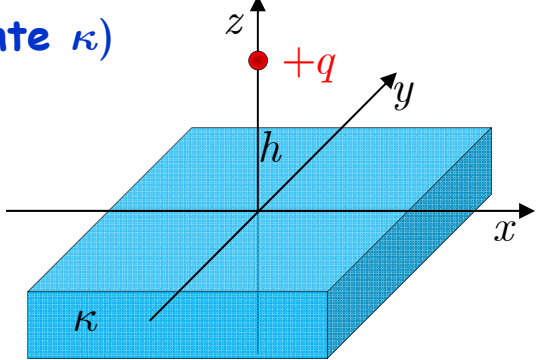
$$\mathbf{P} = (\kappa - 1)\varepsilon_0 \mathbf{E}$$



Componente tangenziale continua

ullet Consideriamo un materiale dielettrico lineare (di costante  $\kappa$ ) che riempie tutto lo spazio per z<0





- Calcoliamo potenziale e campo elettrico in tutto lo spazio
- Il problema può essere risolto considerando
  - Una soluzione particolare dell'equazione Poisson
    - ullet Il potenziale di una carica puntiforme posta in  ${f r}_+=h\hat{f e}_z$
  - Una soluzione dell'equazione di Laplace che consenta di soddisfare le condizioni al contorno
    - Potenziale che si annulla all'infinito
    - ullet Potenziale continuo sul piano z=0
    - Discontinuità delle derivate normali

$$\left. \varepsilon_0 \frac{\partial \phi}{\partial n} \right|_{z \to 0^+} = \kappa \varepsilon_0 \frac{\partial \phi}{\partial n} \right|_{z \to 0^-}$$

• Risolviamo questo problema con una generalizzazione del metodo delle immagini

- Descriviamo qualitativamente cosa succede
  - ullet La carica +q genera un campo che polarizza il dielettrico
    - Il dielettrico è lineare:  $abla \cdot P = \chi_e 
      abla \cdot E = 0 o$  non ci sono cariche di polarizzazione di volume —
    - Compare una carica superficiale di polarizzazione sul piano di separazione dielettrico vuoto

$$\sigma_{_{\mathrm{D}}} = \mathbf{P} \cdot \hat{\mathbf{n}}$$

- Il campo elettrico in tutto lo spazio è la somma di due campi elettrici
  - ullet Il campo  $\mathbf{E}'$  generato dalla densità di carica superficiale
  - ullet Il campo  $\mathbf{E''}$  generato dalla carica puntiforme
    - È il problema equivalente nel vuoto del problema iniziale
  - La densità di carica superficiale è determinata dalla polarizzazione ed è da calcolare
- Dato che il dielettrico è lineare

$$\mathbf{P}(\mathbf{r}) = \chi_{e} \varepsilon_{0} \mathbf{E}(\mathbf{r}) = (\kappa - 1) \varepsilon_{0} \mathbf{E}(\mathbf{r})$$

- Per effetto della polarizzazione compare una densità superficiale di carica
  - La densità di carica superficiale ha una simmetria azimutale
  - È determinata dalla componente normale del vettore P

$$\sigma_{\mathbf{P}}(x,y) = \mathbf{P}(x,y,0) \cdot \hat{\mathbf{n}} = P_z(x,y,0) = (\kappa - 1)\varepsilon_0 E_z(x,y,0)$$

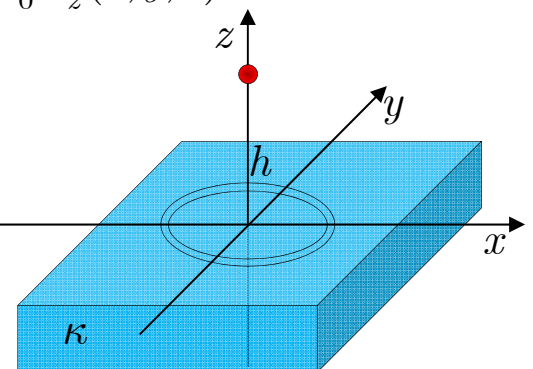
z

 $\kappa$ 

$$\sigma_{\mathbf{P}}(x,y) = \mathbf{P}(x,y,0) \cdot \hat{\mathbf{n}} = P_z(x,y,0) = (\kappa - 1)\varepsilon_0 E_z(x,y,0)$$

- ullet Il campo elettrico  $E_z$  che compare è il campo totale
- La componente normale del campo elettrico  $E'_z(x,y)$  dovuto alla densità superficiale di carica  $\sigma_{\rm p}(x,y)$  è

$$E'_z(x, y, 0) = \frac{\sigma_{\rm P}(x, y)}{2\varepsilon_0}$$



- Per convincerci della correttezza di questa espressione osserviamo che
  - La carica superficiale è equivalente all'effetto del dielettrico
  - Il campo elettrico generato dalla densità superficiale di carica ha la seguente simmetria

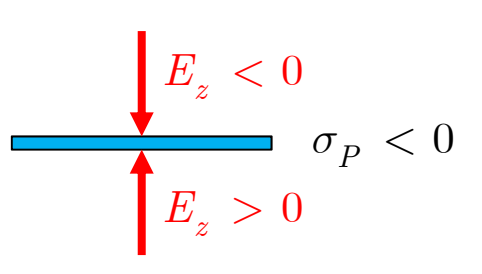
$$\mathbf{E}'_{\perp}(x,y,z) = -\mathbf{E}'_{\perp}(x,y,-z) \qquad \mathbf{E}'_{\parallel}(x,y,z) = \mathbf{E}'_{\parallel}(x,y,-z)$$

• Infine, come per tutti i campi elettrici, sappiamo che la componente normale ha una discontinuità attraverso lo strato di carica

$$\Delta \mathbf{E}_{\perp}' = \frac{\sigma_{\mathrm{P}}}{arepsilon_{0}} \hat{\mathbf{e}}_{z}$$

• Possiamo pertanto concludere che

$$E'_z(x, y, 0) = \frac{\sigma_{\rm P}(x, y)}{2\varepsilon_0}$$

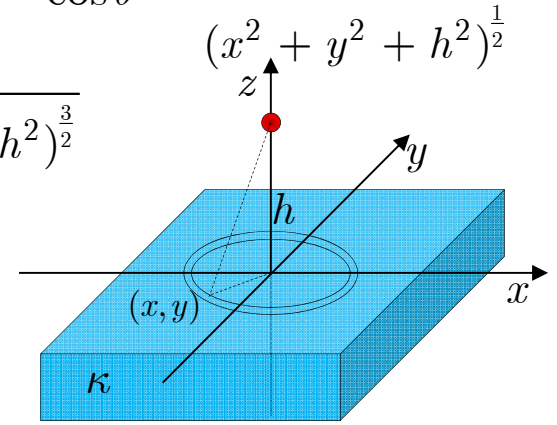


• La componente del campo elettrico  $E^{\prime\prime}{}_z(x,y)$  dovuta

alla carica elettrica 
$$+q$$
 è 
$$E_z''(x,y,0) = -\frac{1}{4\pi\varepsilon_0} \frac{q}{x^2 + y^2 + h^2} \cos\theta = -\frac{1}{4\pi\varepsilon_0} \frac{qh}{(x^2 + y^2 + h^2)^{\frac{3}{2}}}$$
• Abbiamo pertanto
$$\sigma_x(x,y) = (x,y) =$$

$$\begin{split} \sigma_{\mathrm{P}}(x,y) &= (\kappa - 1)\varepsilon_0 E_z(x,y,0) \\ &= (\kappa - 1)\varepsilon_0 \left[ E_z'(x,y,0) + E_z''(x,y,0) \right] \end{split}$$

$$\sigma_{P}(x,y) = (\kappa - 1) \left[ -\frac{\sigma_{P}(x,y)}{2} - \frac{1}{4\pi} \frac{qh}{(x^2 + y^2 + h^2)^{\frac{3}{2}}} \right]$$



ullet Possiamo determinare la densità di carica superficiale  $\sigma_{
m p}$ 

$$\left(1 + \frac{k-1}{2}\right)\sigma_{\mathcal{P}}(x,y) = -\frac{\kappa - 1}{4\pi} \frac{qh}{(x^2 + y^2 + h^2)^{\frac{3}{2}}} \qquad \sigma_{\mathcal{P}}(x,y) = -\frac{\kappa - 1}{\kappa + 1} \frac{1}{2\pi} \frac{qh}{(x^2 + y^2 + h^2)^{\frac{3}{2}}}$$

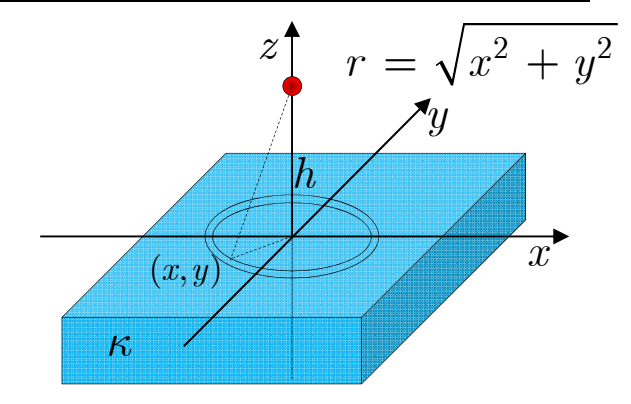
$$\sigma_{P}(x,y) = -\frac{\kappa - 1}{\kappa + 1} \frac{1}{2\pi} \frac{qh}{(x^2 + y^2 + h^2)^{\frac{3}{2}}}$$

- Osserviamo che, a meno del fattore dipendente dalla costante dielettrica,
  - è la stessa densità di carica trovata nella diapositiva 220
  - Piano conduttore infinito e carica puntiforme con il metodo della carica immagine

 Nel caso della carica puntiforme e piano conduttore avevamo trovato

$$-\frac{hq}{2\pi} \int_0^\infty \frac{1}{(r^2 + h^2)^{3/2}} 2\pi r dr = -q$$





$$q_{\rm P} = -\frac{\kappa - 1}{\kappa + 1}q$$

$$\phi(\mathbf{r}) = \phi'(\mathbf{r}) + \phi''(\mathbf{r})$$

• Il potenziale del campo elettrico è 
$$\phi(\mathbf{r}) = \phi'(\mathbf{r}) + \phi''(\mathbf{r}) \qquad \phi''(\mathbf{r}) = \frac{1}{4\pi\varepsilon_0} \frac{q}{\left|\mathbf{r} - h\hat{\mathbf{e}}_z\right|}$$

$$\phi'(\mathbf{r}) = \frac{1}{4\pi\varepsilon_0} \int_{\text{piano}} \frac{\sigma_{\mathbf{p}}(x', y')}{\left|\mathbf{r} - \mathbf{r}'\right|} dS'$$

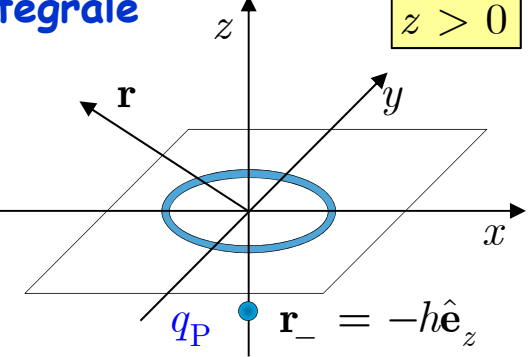
$$\phi'(\mathbf{r}) = \frac{1}{4\pi\varepsilon_0} \int_{\text{piano}} \frac{\sigma_{\mathbf{p}}(x', y')}{\left|\mathbf{r} - \mathbf{r}'\right|} dS' \qquad \sigma_{\mathbf{p}}(x, y) = -\frac{\kappa - 1}{\kappa + 1} \frac{1}{2\pi} \frac{qh}{\left(x^2 + y^2 + h^2\right)^{\frac{3}{2}}}$$

• Tuttavia esiste un metodo più' semplice che calcolare l'integrale

• L'effetto dell'integrale è equivalente a porre una carica immagine  $q_{
m P} < 0$  nella posizione -h

$$\phi'(\mathbf{r}) = \frac{1}{4\pi\varepsilon_0} \frac{q_{\rm P}}{|\mathbf{r} - \mathbf{r}_{-}|}$$

$$\phi'(\mathbf{r}) = \frac{1}{4\pi\varepsilon_0} \frac{q_{\rm P}}{|\mathbf{r} - \mathbf{r}_{-}|} \qquad \phi'(\mathbf{r}) = \frac{1}{4\pi\varepsilon_0} \frac{q_{\rm P}}{\sqrt{x^2 + y^2 + (z+d)^2}}$$



ullet Quindi il potenziale nel semispazio z>0 è

$$\phi(\mathbf{r}) = \phi'(\mathbf{r}) + \phi''(\mathbf{r})$$

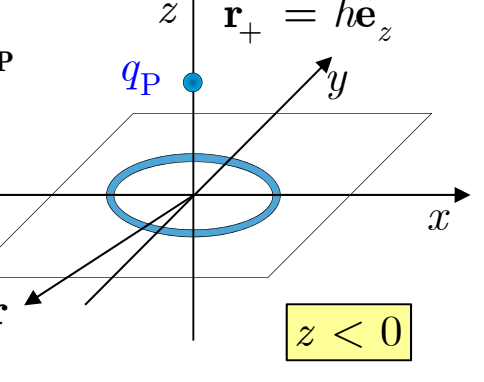
$$q_{\rm P} = -\frac{\kappa - 1}{\kappa + 1}q$$

$$\phi(\mathbf{r}) = \frac{1}{4\pi\varepsilon_0} \frac{q_{\rm P}}{\sqrt{x^2 + y^2 + (z+d)^2}} + \frac{1}{4\pi\varepsilon_0} \frac{q}{\sqrt{x^2 + y^2 + (z-d)^2}}$$

- A differenza del problema della carica e il piano conduttore il campo nel semispazio z < 0 non è nullo
- ullet Calcoliamo il potenziale per z < 0
  - ullet C'è il campo della carica +q posto a  ${f r}_+$
  - ullet  ${oldsymbol{\mathcal{C}}}$  'è anche il campo dovuto alla carica di polarizzazione  $q_{
    m P}$ 
    - ullet Questa volta calcolato nel semispazio z < 0
    - ullet Equivalente ad una carica  $q_{
      m P}$  posta nel punto  ${f r}_+$

$$\phi'(\mathbf{r}) = \frac{1}{4\pi\varepsilon_0} \frac{q_{\rm P}}{|\mathbf{r} - \mathbf{r}_+|}$$

$$\phi'(\mathbf{r}) = \frac{1}{4\pi\varepsilon_0} \frac{q_{\rm P}}{\left|\mathbf{r} - \mathbf{r}_{+}\right|} \qquad \phi'(\mathbf{r}) = \frac{1}{4\pi\varepsilon_0} \frac{q_{\rm P}}{\sqrt{x^2 + y^2 + (z - d)^2}}$$



ullet Quindi il potenziale nel semispazio z<0 è

$$\phi(\mathbf{r}) = \frac{1}{4\pi\varepsilon_0} \frac{q_{\rm P}}{\sqrt{x^2 + y^2 + (z - d)^2}} + \frac{1}{4\pi\varepsilon_0} \frac{q}{\sqrt{x^2 + y^2 + (z - d)^2}}$$

#### Riepilogando

$$q_{\rm P} = -\frac{\kappa - 1}{\kappa + 1}q$$

$$\phi(\mathbf{r}) = \frac{1}{4\pi\varepsilon_0} \frac{q_{\rm P}}{\sqrt{x^2 + y^2 + (z+d)^2}} + \frac{1}{4\pi\varepsilon_0} \frac{q}{\sqrt{x^2 + y^2 + (z-d)^2}} \qquad z > 0$$

$$\phi(\mathbf{r}) = \frac{1}{4\pi\varepsilon_0} \frac{q_{\rm P}}{\sqrt{x^2 + y^2 + (z-d)^2}} + \frac{1}{4\pi\varepsilon_0} \frac{q}{\sqrt{x^2 + y^2 + (z-d)^2}} \qquad z < 0$$

- ullet Il potenziale  $\phi({f r})$  soddisfa l'equazione di Poisson
  - ullet Il termine dovuto a q per z>0 soddisfa l'equazione di Poisson
  - Gli altri tre termini sono soluzioni dell'equazione di Laplace nei rispettivi domini a+a

ullet Il potenziale è continuo per z=0

$$\phi(x, y, 0) = \frac{1}{4\pi\varepsilon_0} \frac{q + q_P}{\sqrt{x^2 + y^2 + d^2}}$$
  $z > 0$ 

$$\phi(x, y, 0) = \frac{1}{4\pi\varepsilon_0} \frac{q + q_P}{\sqrt{x^2 + y^2 + d^2}} \qquad z < 0$$

- Il potenziale va a zero all'infinito
- Verifichiamo l'ultima condizione sulle derivate normali

$$\phi(\mathbf{r}) = \frac{1}{4\pi\varepsilon_0} \frac{q_{\rm P}}{\sqrt{x^2 + y^2 + (z+d)^2}} + \frac{1}{4\pi\varepsilon_0} \frac{q}{\sqrt{x^2 + y^2 + (z-d)^2}} \qquad z>0$$
 
$$\phi(\mathbf{r}) = \frac{1}{4\pi\varepsilon_0} \frac{q_{\rm P}}{\sqrt{x^2 + y^2 + (z-d)^2}} + \frac{1}{4\pi\varepsilon_0} \frac{q}{\sqrt{x^2 + y^2 + (z-d)^2}} \qquad z<0$$
 coliamo le derivate normali 
$$q_{\rm P} = -\frac{\kappa - 1}{4\pi\varepsilon_0} q$$

#### Calcoliamo le derivate normali

• Ovviamente 
$$\frac{\partial}{\partial n} = \frac{\partial}{\partial z}$$

$$\frac{\partial \phi(\mathbf{r})}{\partial z} = \frac{1}{4\pi\varepsilon_0} \left( -\frac{1}{2} \right) \frac{2q_{\rm P}(z+d)}{\left[ x^2 + y^2 + (z+d)^2 \right]^{\frac{3}{2}}} + \frac{1}{4\pi\varepsilon_0} \left( -\frac{1}{2} \right) \frac{2q(z-d)}{\left[ x^2 + y^2 + (z-d)^2 \right]^{\frac{3}{2}}}$$

$$\frac{\partial \phi(\mathbf{r})}{\partial z} \bigg|_{z=0^+} = -\frac{1}{4\pi\varepsilon_0} \left[ \frac{q_{\rm P}d}{\left[ x^2 + y^2 + d^2 \right]^{\frac{3}{2}}} + \frac{-qd}{\left[ x^2 + y^2 + d^2 \right]^{\frac{3}{2}}} \right] = -\frac{1}{4\pi\varepsilon_0} \frac{(q_{\rm P} - q)d}{\left[ x^2 + y^2 + d^2 \right]^{\frac{3}{2}}}$$

$$q_{\mathrm{P}} - q = -\frac{\kappa - 1}{\kappa + 1}q - q = \frac{-2\kappa}{\kappa + 1}q \qquad \left| \frac{\partial \phi}{\partial z} \right|_{z=0^{+}} = \frac{1}{4\pi\varepsilon_{0}} \frac{2\kappa}{\kappa + 1} \frac{qd}{\left[x^{2} + y^{2} + d^{2}\right]^{\frac{3}{2}}}$$

$$\begin{split} \phi(\mathbf{r}) &= \frac{1}{4\pi\varepsilon_0} \frac{q_{\rm P}}{\sqrt{x^2 + y^2 + (z+d)^2}} + \frac{1}{4\pi\varepsilon_0} \frac{q}{\sqrt{x^2 + y^2 + (z-d)^2}} & z>0 \\ \phi(\mathbf{r}) &= \frac{1}{4\pi\varepsilon_0} \frac{q_{\rm P}}{\sqrt{x^2 + y^2 + (z-d)^2}} + \frac{1}{4\pi\varepsilon_0} \frac{q}{\sqrt{x^2 + y^2 + (z-d)^2}} & z<0 \\ \text{desso il caso } z<0 & q_{\rm P} &= -\frac{\kappa-1}{\kappa+1} q \end{split}$$

ullet Adesso il caso z < 0

$$\frac{\partial \phi(\mathbf{r})}{\partial z} = \frac{1}{4\pi\varepsilon_0} \left( -\frac{1}{2} \right) \frac{2(q_{\rm P} + q)(z - d)}{\left[ x^2 + y^2 + (z - d)^2 \right]^{\frac{3}{2}}} \qquad \frac{\partial \phi}{\partial z} \bigg|_{z=0^-} = \frac{1}{4\pi\varepsilon_0} \frac{(q_{\rm P} + q)d}{\left[ x^2 + y^2 + d^2 \right]^{\frac{3}{2}}}$$

$$q_{\rm P} + q = -\frac{\kappa - 1}{\kappa + 1} q + q = \frac{2}{\kappa + 1} q \qquad \frac{\partial \phi}{\partial z} \bigg|_{z=0^-} = \frac{1}{4\pi\varepsilon_0} \frac{2}{\kappa + 1} \frac{qd}{\left[ x^2 + y^2 + d^2 \right]^{\frac{3}{2}}}$$

$$\left. \frac{\partial \phi}{\partial z} \right|_{z=0^{-}} = \frac{1}{4\pi\varepsilon_{0}} \frac{(q_{\mathrm{P}} + q)d}{\left[ x^{2} + y^{2} + d^{2} \right]^{\frac{3}{2}}}$$

$$\left. \frac{\partial \phi}{\partial z} \right|_{z=0^{-}} = \frac{1}{4\pi\varepsilon_{0}} \frac{2}{\kappa + 1} \frac{qd}{\left[x^{2} + y^{2} + d^{2}\right]^{\frac{3}{2}}}$$

$$\left. \frac{\partial \phi}{\partial z} \right|_{z=0^+} = \frac{1}{4\pi\varepsilon_0} \frac{2\kappa}{\kappa + 1} \frac{qd}{\left[x^2 + y^2 + d^2\right]^{\frac{3}{2}}}$$

#### • E naturalmente

$$\left| \varepsilon_0 \frac{\partial \phi}{\partial z} \right|_{z=0^+} = \kappa \varepsilon_0 \frac{\partial \phi}{\partial z} \Big|_{z=0^-}$$

- Naturalmente le due derivate calcolate sono anche, a meno del segno, la componente z del campo elettrico all'interfaccia
  - La componente parallela è continua
  - ullet Calcoliamo ad esempio  $E_x$

$$E_{x} = -\frac{\partial \phi}{\partial x} = \frac{1}{4\pi\varepsilon_{0}} \frac{(q_{P} + q)x}{\left[x^{2} + y^{2} + (z - d)^{2}\right]^{\frac{3}{2}}} \qquad E_{z} = -\frac{1}{4\pi\varepsilon_{0}} \frac{2}{\kappa + 1} \frac{qd}{\left[x^{2} + y^{2} + d^{2}\right]^{\frac{3}{2}}}$$

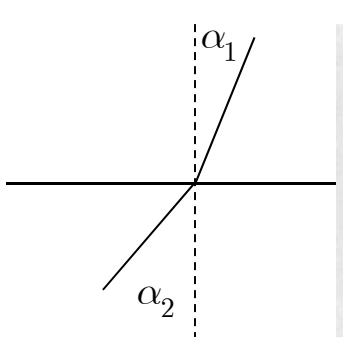
$$= \frac{1}{4\pi\varepsilon_{0}} \frac{2}{\kappa + 1} \frac{qx}{\left[x^{2} + y^{2} + (z - d)^{2}\right]^{\frac{3}{2}}}$$

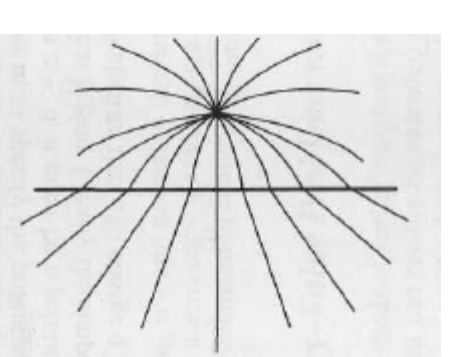
$$\begin{split} E_z &= -\frac{1}{4\pi\varepsilon_0}\frac{2\kappa}{\kappa+1}\frac{qd}{\left[x^2+y^2+d^2\right]^{\frac{3}{2}}}\\ E_z &= -\frac{1}{4\pi\varepsilon_0}\frac{2}{\kappa+1}\frac{qd}{\left[x^2+y^2+d^2\right]^{\frac{3}{2}}} \end{split}$$

ullet Calcoliamo l'angolo che  ${
m E}$  fa con l'asse z, ad esempio nel piano y=0

$$\bullet \ \, \text{Nel vuoto} \qquad \qquad \operatorname{tg} \alpha_1 = \frac{E_x}{E_z} = \frac{\frac{2}{\kappa+1}x}{\frac{2\kappa}{\kappa+1}d} = \frac{1}{\kappa}\frac{x}{d}$$

• Nel dielettrico 
$$\operatorname{tg}\alpha_2 = \frac{E_x}{E_z} = \frac{\frac{2}{\kappa+1}x}{\frac{2}{\kappa+1}d} = \frac{x}{d}$$





- Per finire calcoliamo la forza che agisce sulla carica
  - La carica di polarizzazione è negativa
  - ullet E equivalente ad una carica negativa  $q_{
    m P}$  posta a distanza -h
  - La forza è attrattiva
  - La forza è

$$q_{\rm P} = -\frac{\kappa - 1}{\kappa + 1}q$$

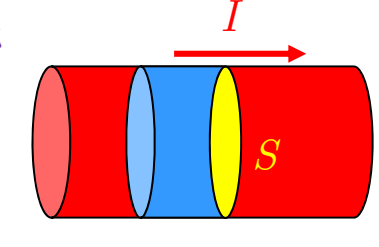
$$\mathbf{F} = -\frac{1}{4\pi\varepsilon_0} \frac{qq_{\rm P}}{(2h)^2} \hat{\mathbf{e}}_z$$

$$\mathbf{F} = -\frac{1}{4\pi\varepsilon_0} \frac{\kappa - 1}{\kappa + 1} \frac{q^2}{(2h)^2} \hat{\mathbf{e}}_z$$

#### Corrente elettrica

- Cominciamo a studiare situazioni in cui le cariche sono in movimento
  - Per il momento ci limiteremo a movimenti "relativamente lenti"
    - Velocità piccole rispetto alla velocità della luce
  - Prima di iniziare a formulare le differenze nelle forze fra le cariche introduciamo una serie di nuovi concetti necessari per descrivere le cariche in movimento
- Un moto ordinato di portatori di carica costituisce una corrente elettrica
  - L'espressione "portatori di carica" è da intendere in un senso molto generale
    - Possono essere elettroni o ioni
    - Può essere materia "carica", ad esempio goccioline d'acqua nell'atmosfera
- In un filo di materiale conduttore la corrente elettrica è definita come la quantità di carica che attraversa la sezione del filo nell'unità di tempo
  - La corrente ha un segno convenzionale
    - È positiva se le cariche positive seguono la freccia
  - Supponendo che in un tempo  $\Delta t$  la carica  $\Delta Q$  nel cilindretto blu attraversi la sezione del filo S (gialla)

$$I = \lim_{\Delta t \to 0} \frac{\Delta Q}{\Delta t} = \frac{dQ}{dt}$$

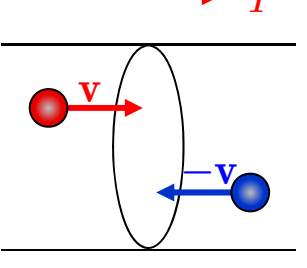


• Nel Sistema Internazionale l'unità di misura della corrente è l'Ampere (A)

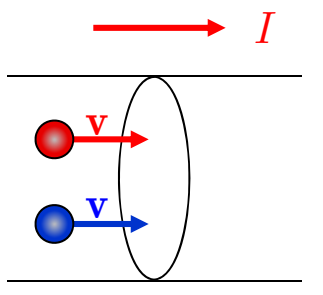
$$1A = 1$$
Coulomb sec<sup>-1</sup>

### Corrente elettrica

- È importante il flusso netto di carica
  - Definiamo il senso positivo della corrente
    - La carica rossa (positiva) contribuisce con segno +
    - La carica blu (negativa) contribuisce con segno +



- Analogamente un atomo o molecola neutri non contribuiscono alla corrente nonostante trasportino carica
  - La carica rossa (positiva) contribuisce con segno +
  - La carica blu (negativa) contribuisce con segno —



- La corrente non deve necessariamente essere definita all'interno di un filo conduttore
  - Per una definizione più generale occorre la densità di corrente
    - Abbiamo già utilizzato questo concetto discutendo il flusso (diapositiva 86)
    - Avevamo discusso il flusso di materia (fluido)
  - ullet Avevamo definito il vettore densità di corrente  $J=
    ho\,\mathrm{v}$ 
    - $\bullet$  Avevamo visto che la quantità di materia che attraversa un superficie S nell'unità di tempo era data da

$$\phi = \mathbf{J} \cdot \hat{\mathbf{n}} S$$